

「SUSYは軽い」

3章で 整理したパラメーターの制限や 好ましい領域について整理する。結論としては、LHCで発見可能である軽いSUSYを支持する制限が多くの。

[1]  $\tan\beta \geq 2-4$

3-18

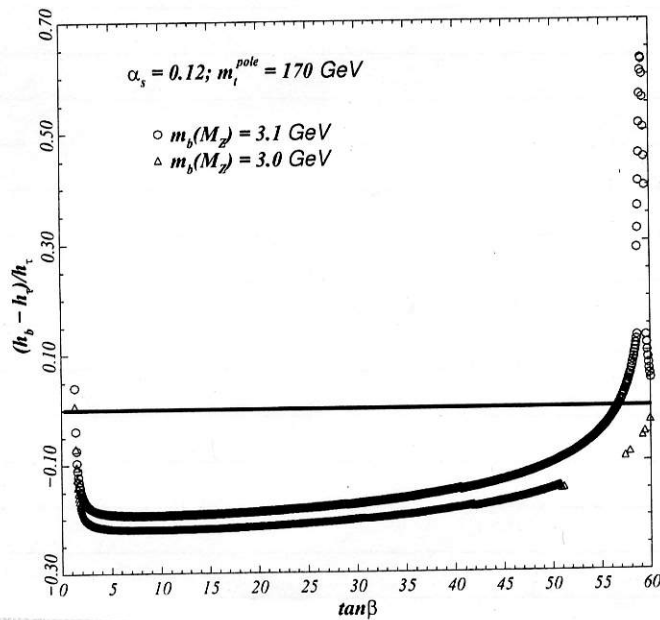
$\tan\beta$ が小さい領域では  $m_R < 110 \text{ GeV}$

LEPで exclude されている。

[2] 大きな  $\tan\beta$ の方が良い。

①  $\tan\beta = 40 \sim 55$  で  $y_b = y_t$  ② GUTが起る。

6.2 Grand Unification 73



←  $m_b$  の 精度

( $m_b$  も 難い)  
QCD の running  
mass の 効果)

↓  
 $m_b \sim 3 \text{ GeV}$

( $B \sim 5 \text{ GeV}$ )

@ GUT  $y_b \sim y_t$  にある for  $\tan\beta = 40 \sim 55$  ← SUSY 的

$y_b = y_t = y_\tau$  @ GUT に  $\tan\beta \geq 50$

← SO10 的

②  $m_R \sim 120 \sim 130 \text{ GeV}$   $\tan\beta \geq 30$

(3-18)

exclude 114 GeV まで

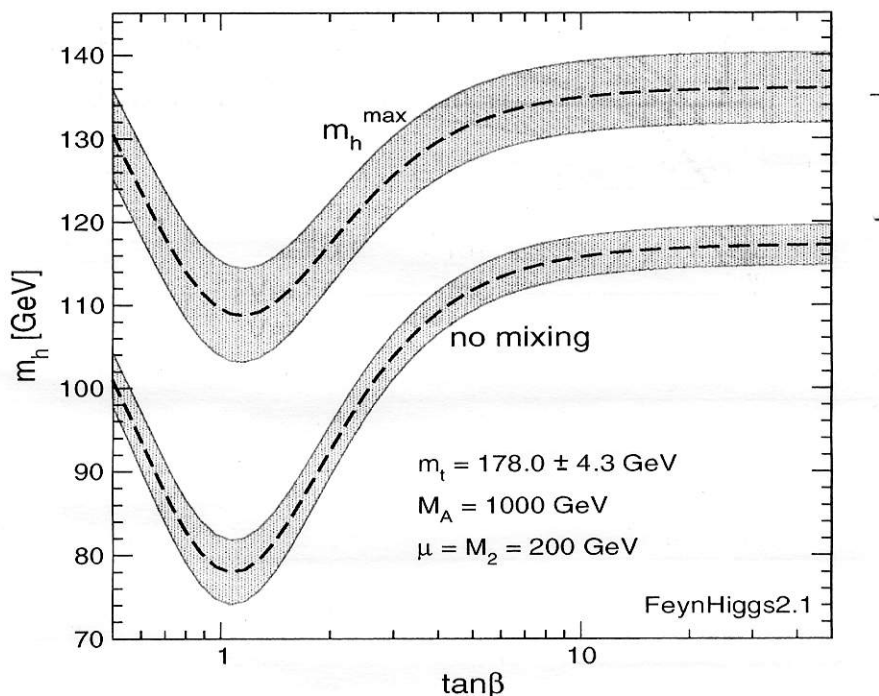


Figure 3.16:  $m_h$  is shown as a function of  $\tan\beta$  in the  $m_h^{\max}$  and the no-mixing scenario.  $m_t$  has been varied in the interval  $m_t = 178.0 \pm 4.3 \text{ GeV}$ .

$$\Delta m_A^2 = \frac{3G_F M_t^4}{\sqrt{2}\pi^2 \sin^2 \beta} \ln \left( \left( 1 + \frac{m_{\tilde{t}_L}^2}{M_t^2} \right) \left( 1 + \frac{m_{\tilde{t}_R}^2}{M_t^2} \right) \right)$$

$$m_A^2 = M_Z^2 |\cos 2\beta| \quad (\text{tree level})$$

$$\tan \beta = 1, \quad \cos 2\beta = 0, \quad \text{tree } \tau \cdot m_R = 0$$

"mixing" による差 20GeV.  $\tilde{t}$  は  $\tilde{t}_L, \tilde{t}_R$  ではなく  $\tilde{t}_1, \tilde{t}_2$  と混合して

いる。この効果が  $m_A^{\max}$  と no-mixing で異なる。

$$\propto (A_t)^2 - \frac{M_t^4}{M_A^2} \left( 1 - \frac{1}{12} A_A^2 / M_A^2 \right)$$

$$A_t \sim \sqrt{6} M_t \quad \text{for } \max = 63$$

### [3] "Naturalness"

SUSY導入の一つの motivation 障壁問題(1-2)

→ soft susy breaking term

SUSYの破れが TeV 程度だと

$$(TeV)^2 - (TeV)^2 = (246 \text{ GeV})^2 \text{ で } 10\% \text{ 程度の}$$

調整で可む。これを 'Naturalness' と言う

この程度の調整までが自然かはクリアでないが 10%程度

### [4] GUTが起きる条件

3-1 の  $\alpha$  の running 図 SUSY 粒子の mass スケール

を変えると折れ点が場所がかかる。(折れた後の値は変わらぬ)

→ 弱い依存性ではあるがこれも  $O(\text{TeV})$  であることが

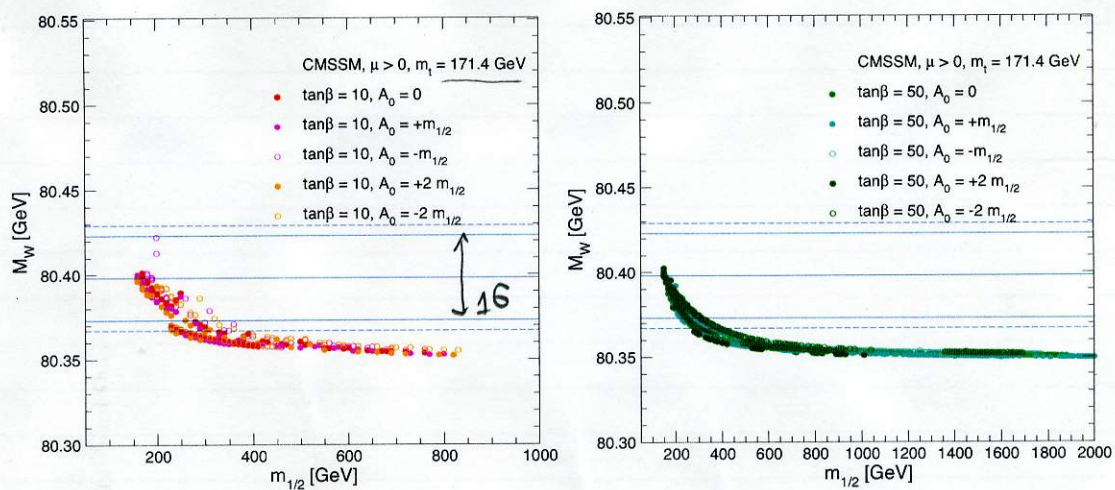
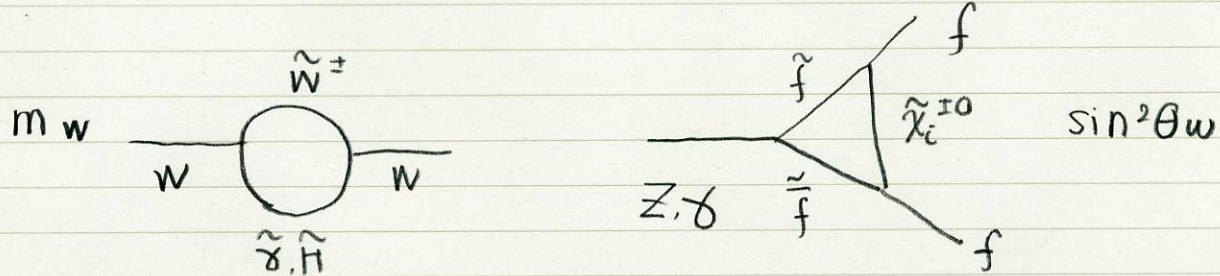
良い。



理論的に  $O(\text{TeV})$  が望ましい。

# 電弱(EW)の精密測定

SUSYの効果力  $W, Z, \gamma$  の mass + coupling に loop で効く (LEP2-8)



$$M_W = 80.398 \pm 0.025 \text{ GeV} \quad (25 \text{ MeV}) \text{ エラー}$$

①

SM  $80.35$  より重いので

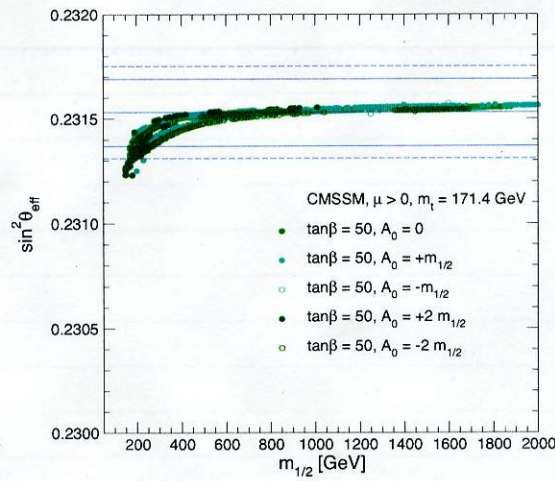
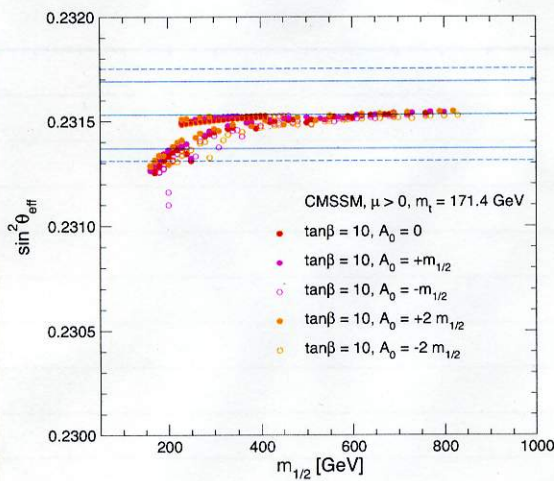
$m_{1/2} < 300$  GeV の SUSY が 16 エ

①  $\tan\beta, A_0$  にあまりよる。

② top  $175 \rightarrow 171.4$  に変わったので その効果小

結果 SUSY の effect が大きくなる

以下の絵は  $m_0$  に依らず scan して DM を OK の点だけ  
プロット

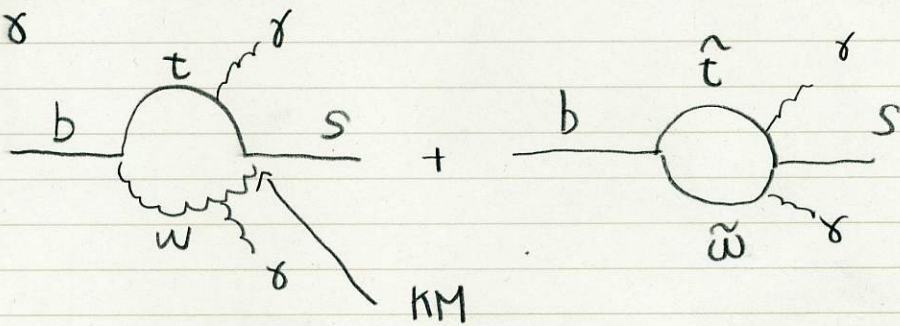


$$\textcircled{2} \quad \sin^2 \theta_W = \frac{1}{4} \left( 1 - \operatorname{Re} \frac{v_{\text{eff}}}{a_{\text{eff}}} \right)$$

$$\sin^2 \theta_W = 0.23153 \pm 0.00016 \quad (700 \text{ PPM})$$

$m_{1/2} < 200 \text{ GeV}$  の範囲で SUSY は グア仇悪。

\textcircled{3}  $b \rightarrow s \gamma$



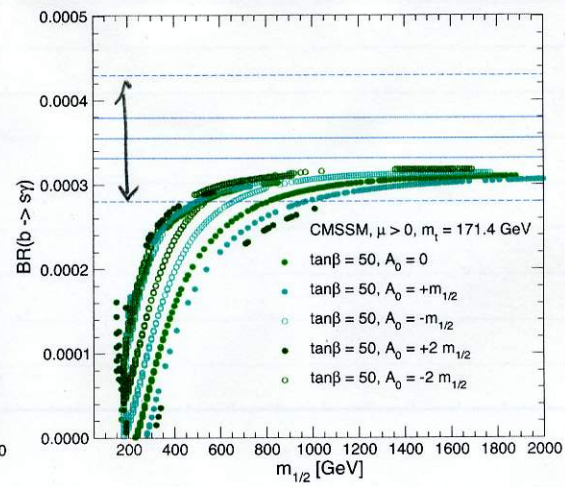
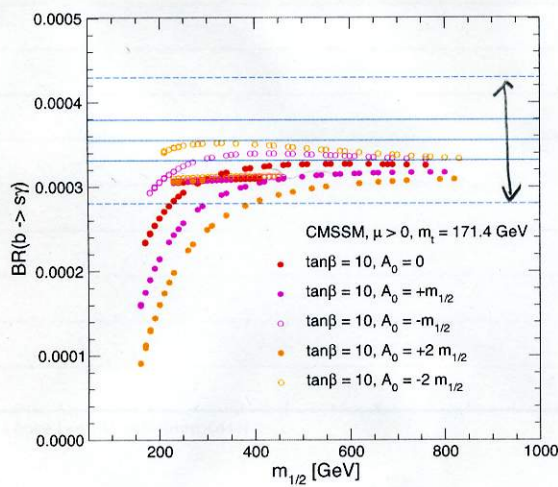
$\mu > 0 \text{ EEN}$

実験  $\text{Br} = (3.55 \pm 0.24 \pm 0.03) \times 10^{-4}$

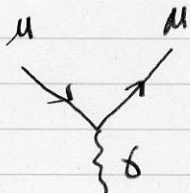
SM  $= (3.15 \pm 0.23) \times 10^{-4}$

}  $A$  の大きさ +12  $A$  ×

$\tan\beta$   
大きさと  
悪くある



④  $\mu$  - g-2 (異常磁気モーメント)



$\mu$  の電流として考える

$$-e\bar{u}_f \gamma_\mu u_i = -\frac{e}{2m} \bar{u}_f ((p_f + f_i)_\mu - i \not{G}_{\mu\nu} \not{g}^\nu) u_i$$

電荷 ↑

$\not{G}_{\mu\nu} \not{g}^\nu$

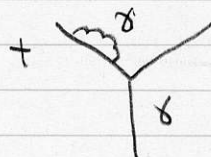
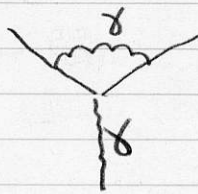


磁気モーメント

$$\vec{\mu} = -\frac{e}{2m} \vec{G} = -g \frac{e}{2m} \vec{S}$$

$$\vec{S} = \frac{1}{2} \vec{G} \text{ (spinの向き)}$$

gは spin factor  $g=2$  at tree-level

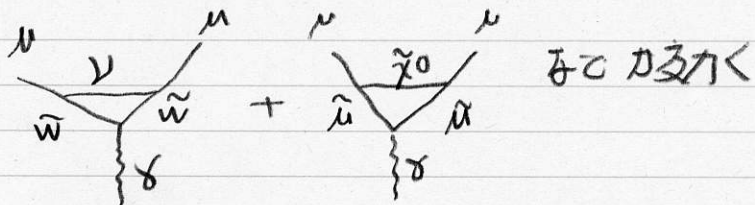


など補正を入り  $g=2+59.413$

$$a = \frac{g-2}{2} \text{ で定義する。}$$

$$a_\mu^{\text{SM}} = \sum \left( \frac{\alpha}{\pi} \right) \dots \sim 10^{-3} \text{ の補正(QED)}$$

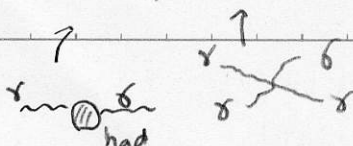
SUSYをみると

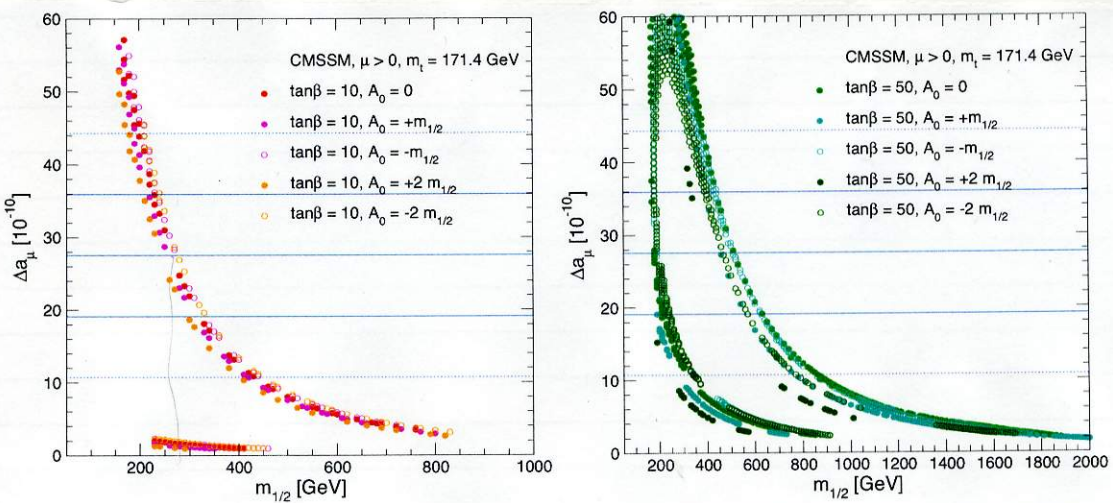


$$\frac{a_\mu^{\text{SUSY}}}{a_\mu^{\text{SM}}} \sim \left( \frac{100 GeV}{\tilde{m}} \right)^2 \tan\beta \cdot \cos(\phi_M 2 + \phi_\mu)$$

$$a_\mu^{\text{SM}} = (11659180.5 \pm 4.4 \pm 3.5 \pm 0.2) \times 10^{-10}$$

had            LBL            QED-EW



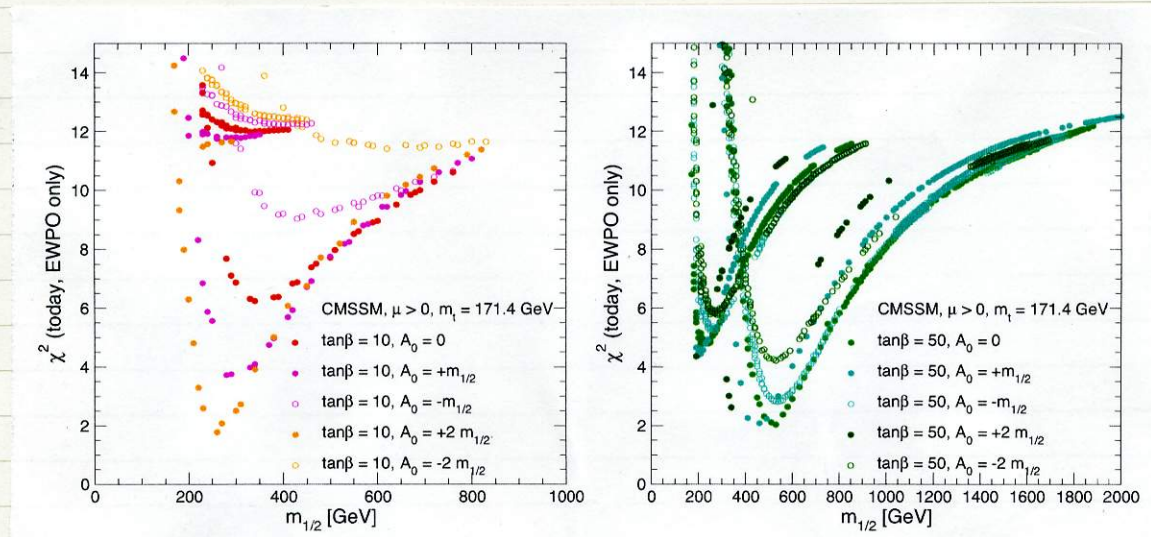


$$\alpha_\mu^{\text{ex}} = (11659208 \pm 6.3) \times 10^{-10} \leftarrow \text{SLC実験}$$

$$\Delta^{\text{ex}} = (27.5 \pm 8.4) \times 10^{-10} \quad (\text{3.6 level})$$

二階修正に相当する  $m_{1/2} \sim 300$  GeV  $\tan\beta = 10$

$m_{1/2} \sim 200$  or  $600$  GeV  $\tan\beta = 50$



$M_W, \sin^2\theta_W, \mu (g-2)$  を入力する, ( $m_R, \tilde{E}_Z$ )

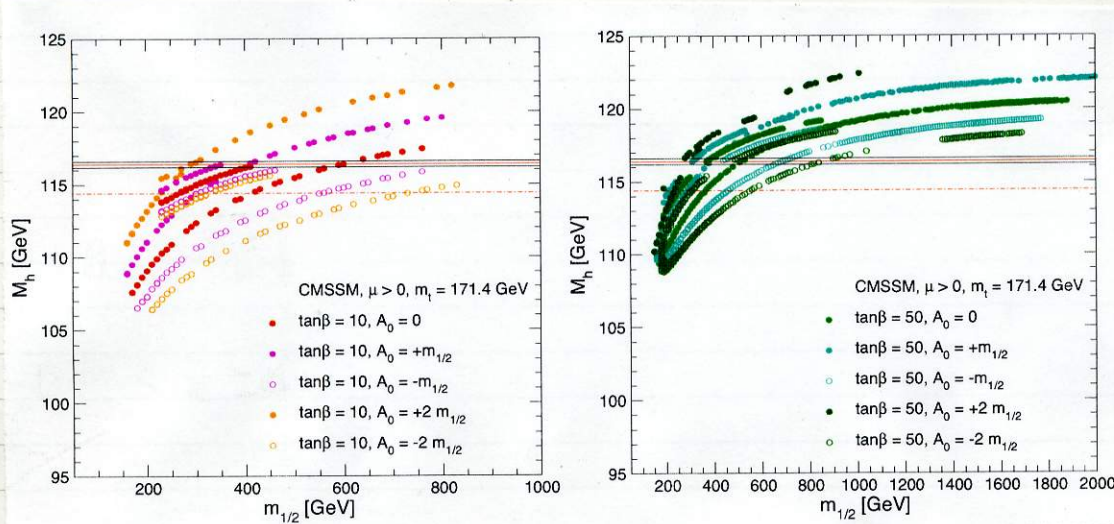
$\tan\beta = 10$  の時 大きな  $A$  が  $\chi^2$  が重くなる(良い)。  $m_{1/2} < 400$  GeV

$\tan \beta = 50$  の時  $m_A$  の limit は及ばない  
 $\rightarrow A_1$  は及ばない)

$$m_{1/2} < 800 \text{ GeV}$$

$$\text{又は } m_{1/2} < 400 \text{ GeV}$$

共に軽い所が良い)

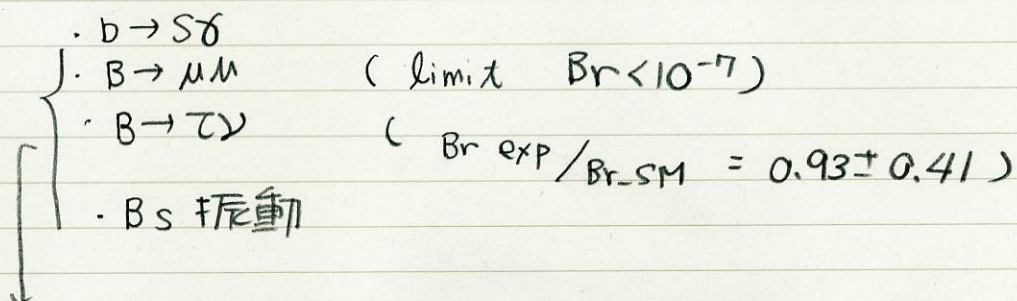


Higgs の loop の寄与は不定項が大きいが

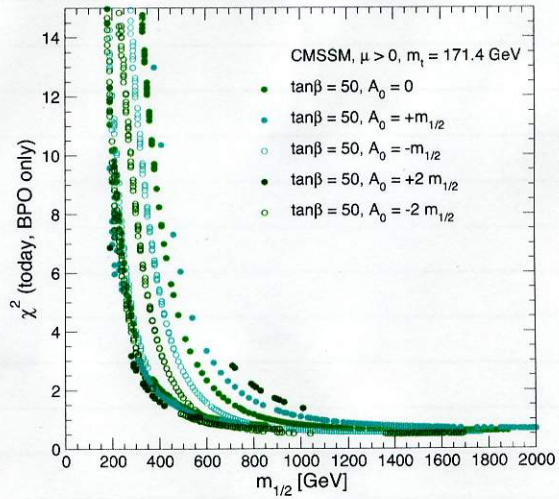
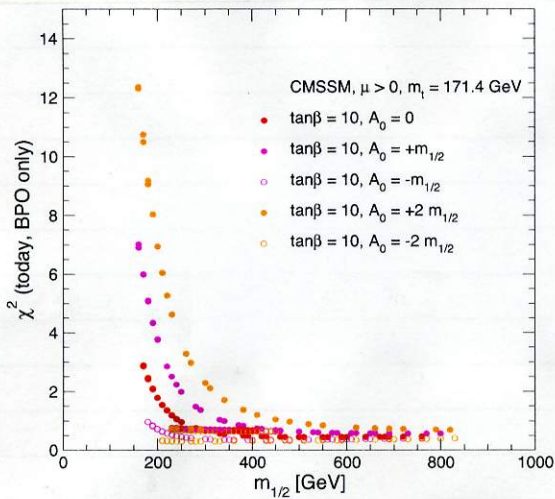
}  $\tan \beta$  の下で及ばない  $m_A$  軽く  $\rightarrow A_1$  mixing を入れて重くする

$\tan \beta = 50$   $m_A$  下でても良い,

フレーバー



SMの予言の方が良い → 重いSUSYのが良い。



フレーバー

CP

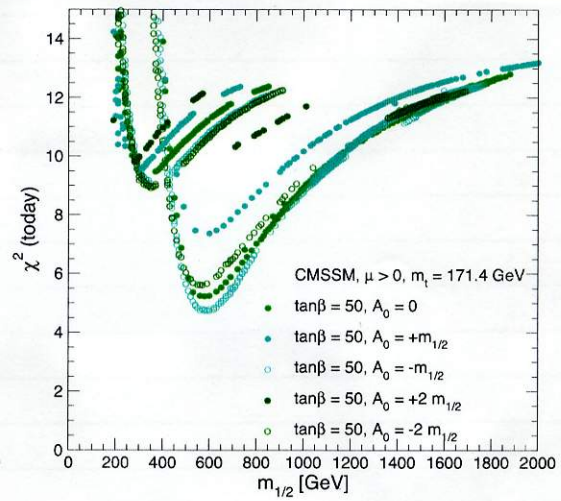
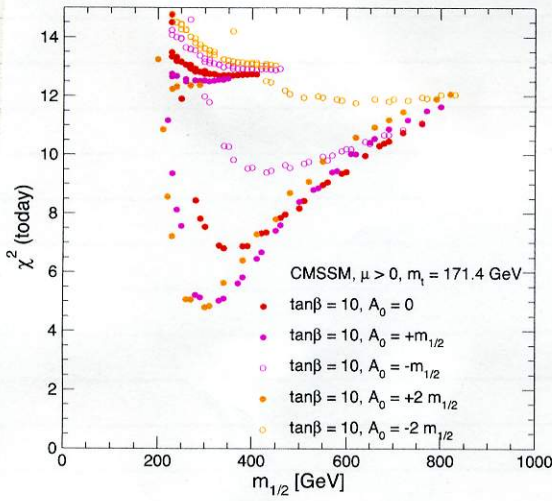
SUSYが良い方(重い方が良い)

HMEで良い

(CPが不足している → 新しいCP)

が必要でも

一般的に 1 TeV の

では CP が  
効果ある

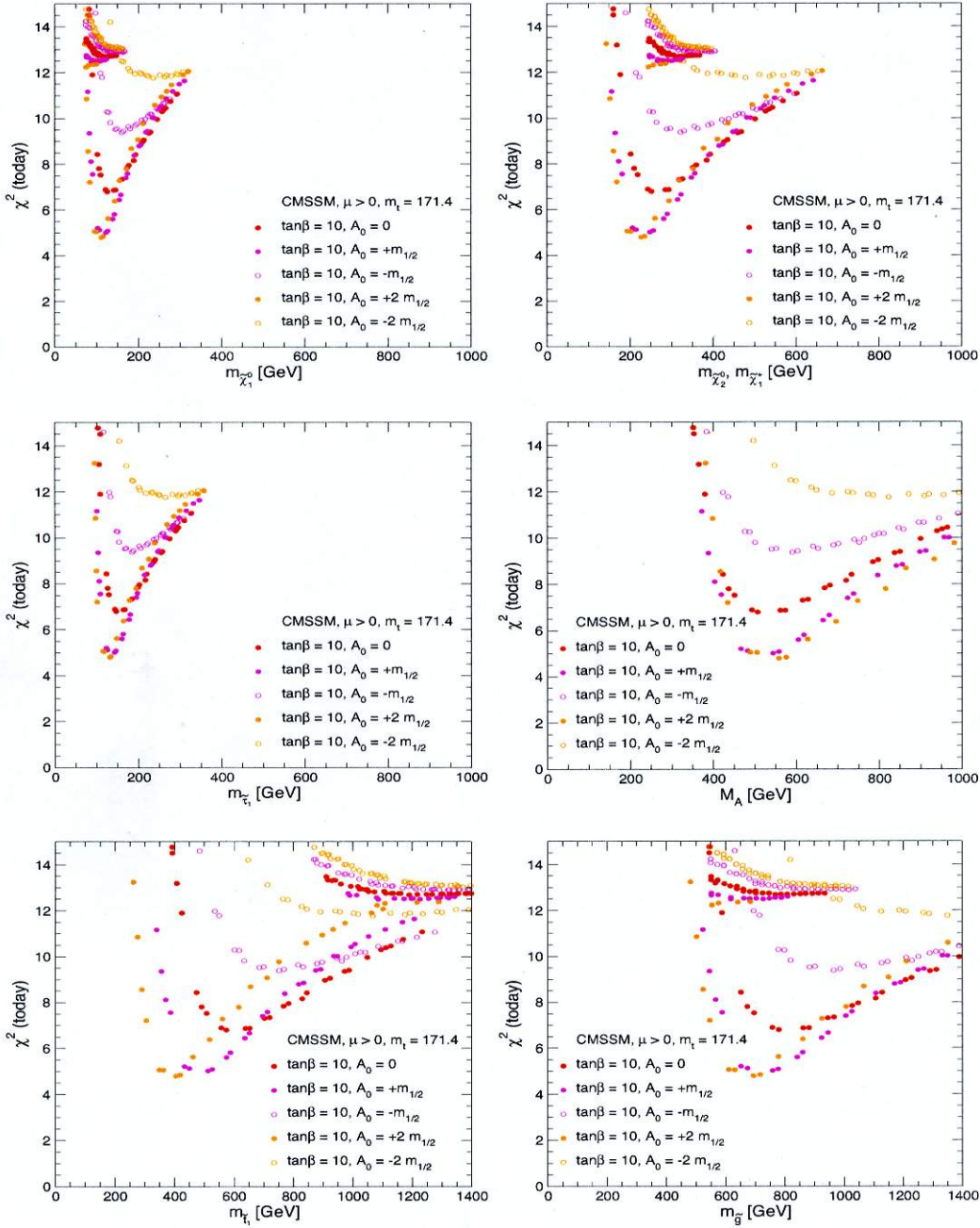


Figure 13: Various SUSY masses are presented with their respective  $\chi^2$  value in the CMSSM for  $\tan \beta = 10$ . The panels show (a)  $m_{\tilde{\chi}_1^0}$ , (b)  $m_{\tilde{\chi}_2^0}$  and  $m_{\tilde{\chi}_1^\pm}$  (which are very similar), (c)  $m_{\tilde{\tau}_1}$ , (d)  $M_A$ , (e)  $m_{\tilde{t}_1}$  and (f)  $m_{\tilde{g}}$ .

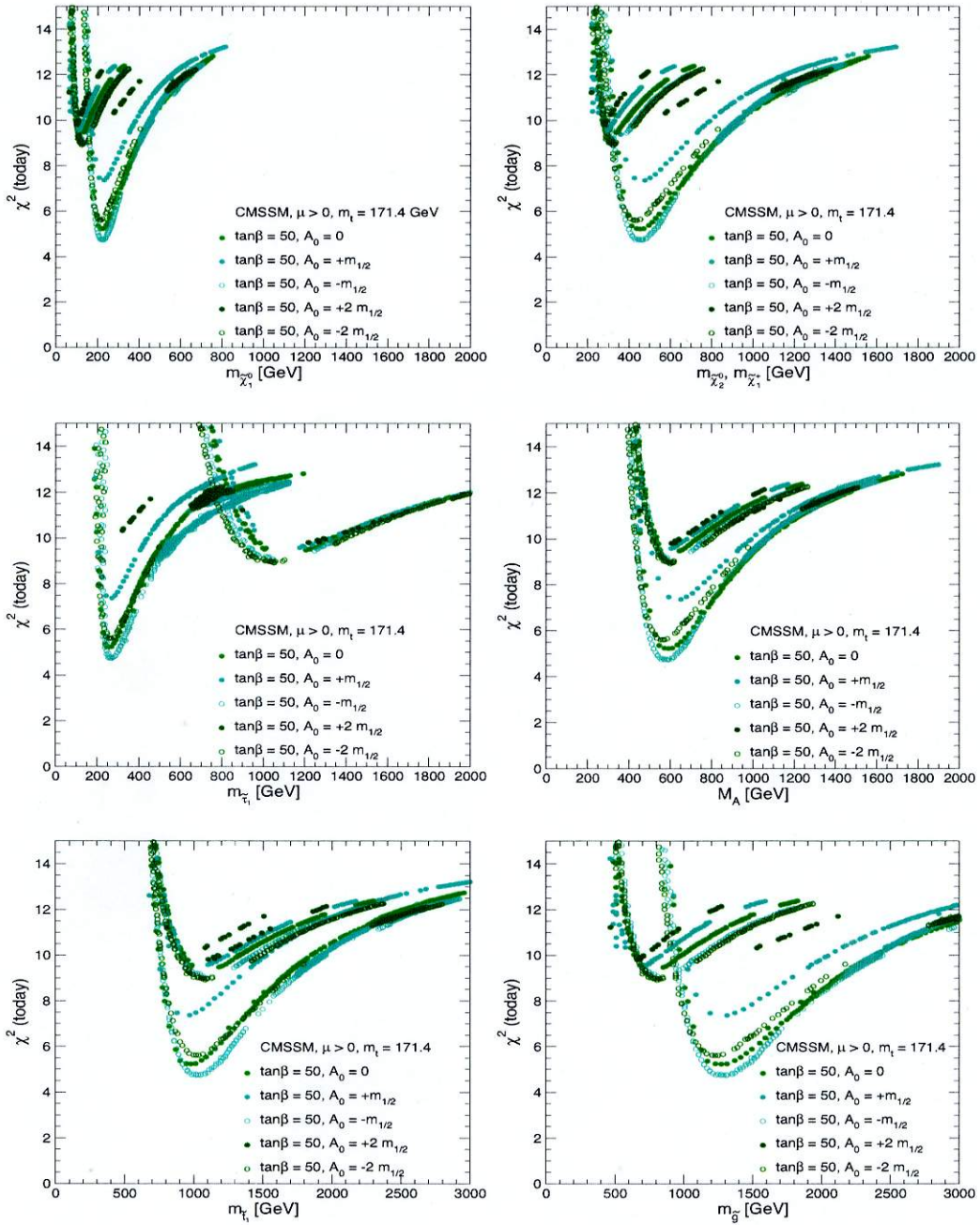


Figure 14: Various SUSY masses are presented with their respective  $\chi^2$  value in the CMSSM for  $\tan\beta = 50$ . The panels show (a)  $m_{\tilde{\chi}_1^0}$ , (b)  $m_{\tilde{\chi}_2^0}$  and  $m_{\tilde{\chi}_1^\pm}$  (which are very similar), (c)  $m_{\tilde{t}_1}$ , (d)  $M_A$ , (e)  $m_{\tilde{t}_1}$  and (f)  $m_{\tilde{g}}$ .

## DMからの制限

Cold DM  $\Omega_{CDM} h^2 = 0.113^{+0.016}_{-0.018}$

25.6%が DM (70% Dark Energy)

かなり 厳い量である。(気を抜くとすぐに超えてしまう)

宇宙の初期にこのくらい出来て、このくらい対消滅するかで今の量を計算して  $\Omega_{CDM} h^2$  と比較する

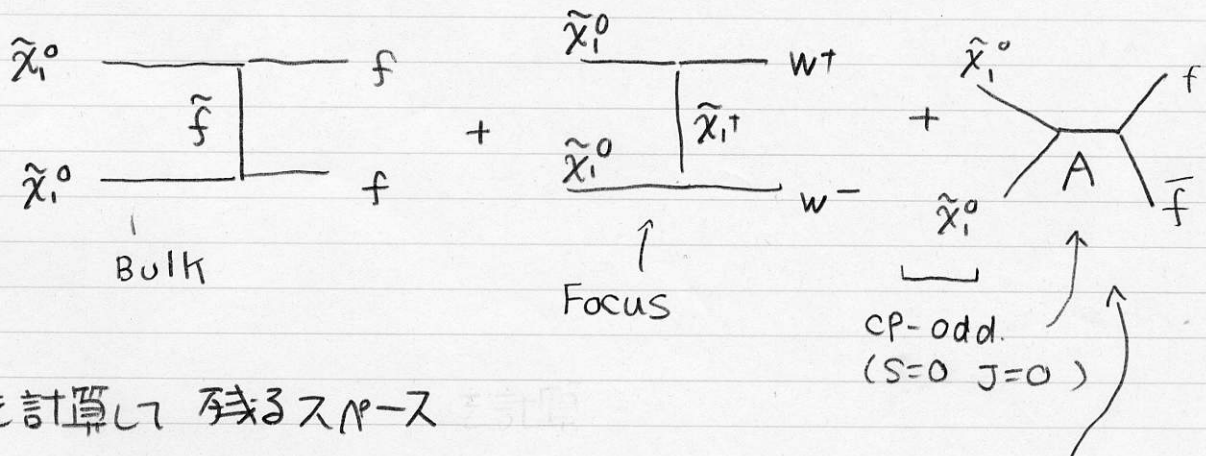
$$n_{\text{eq}} \sim (mT)^{\frac{3}{2}} e^{-\frac{m}{T}} \quad \frac{m}{T} \sim 30 \text{ GeV} \text{ freeze out}$$

$$\Omega_{\chi} = m \cdot n \sim \frac{10^{-10} \text{ GeV}^{-2}}{\langle \sigma v \rangle}$$

$$\langle \sigma v \rangle \sim \frac{\alpha^2}{M_{\text{weak}}^2} \sim 10^{-9} \text{ GeV}^{-2} \quad M_{\text{weak}} \sim 200-300 \text{ GeV}$$

$$\Omega_{\chi} \sim 0.1 \text{ になると} \downarrow$$

$\langle \sigma v \rangle$  を正しく計算



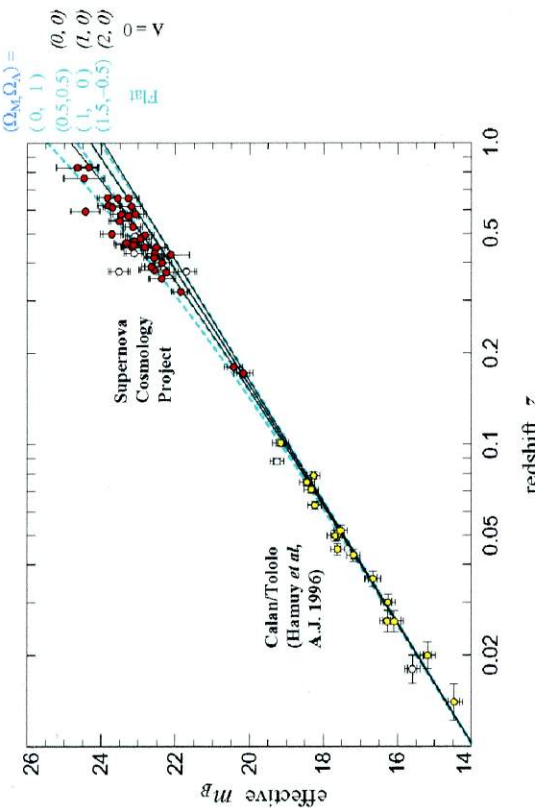
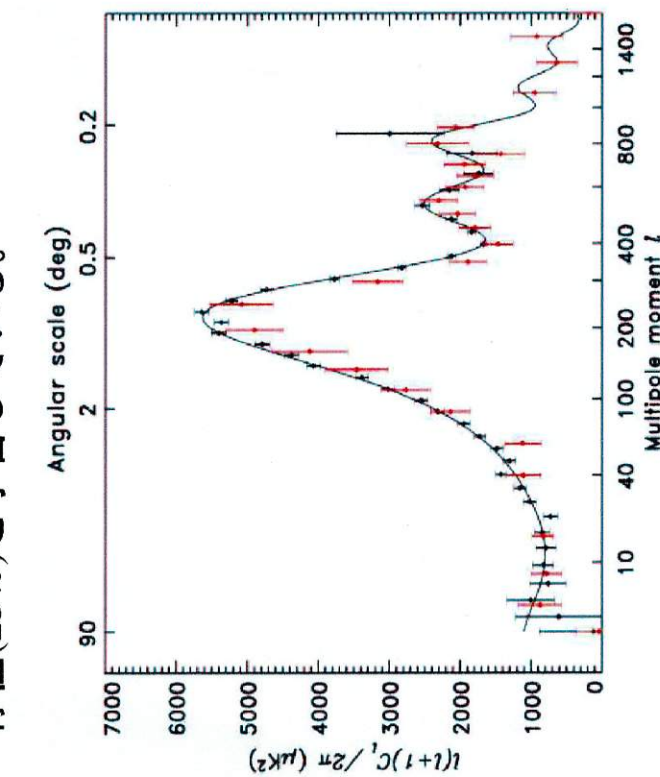
を計算して 残るスペース

funnel

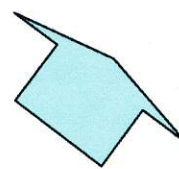
(じゆうご)

## 0. 最近のマーカマターを巡る情勢（一言）

WMAP/SNIaなど多くの測定結果が、Cold & 非バリオンのダークマターの存在(25%)を予言している。



遠方のSNIaの測定  
宇宙が加速している。 $\Omega_\Lambda = 0.7$



$$\Omega_{CDM} h^2 = 0.113^{+0.016}_{-0.018}$$

WMAPなどのCMBのゆらぎの精密測定  
 $\Omega=1$ ,  $\Omega_b$  が小さい。(BBN、Ly $\alpha$ も)  
Hotは、まずい(小さな構造が消える)

$$\Omega_\nu h^2 < 0.0076$$

宇宙の25%がCold DM  
5%がバリオン  
70%が未知のdark energy

COSM-01  
参照

4-12

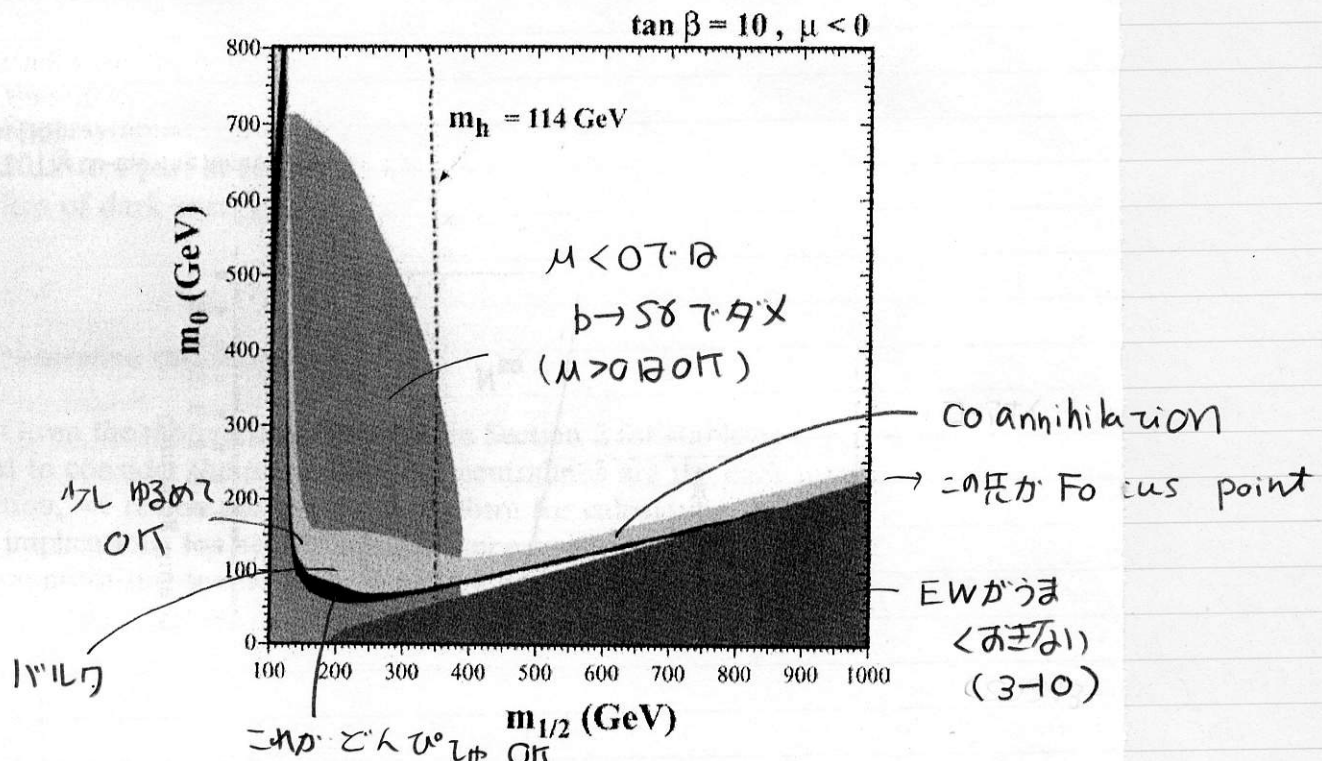


Fig. 9. The bulk and co-annihilation regions of minimal supergravity with  $A_0 = 0$ ,  $\tan \beta = 10$  and  $\mu < 0$ . In the light blue region, the thermal relic density satisfies the pre-WMAP constraint  $0.1 < \Omega_{\text{DM}} h^2 < 0.3$ . In the dark blue region, the neutralino density is in the post-WMAP range  $0.094 < \Omega_{\text{DM}} h^2 < 0.129$ . The bulk region is the dark blue region with  $(m_0, M_{1/2}) \sim (100 \text{ GeV}, 200 \text{ GeV})$ . The stau LSP region is given in dark red, and the co-annihilation region is the dark blue region along the stau LSP border. Current bounds on  $b \rightarrow s\gamma$  exclude the green shaded region, and the Higgs mass is too low to the left of the  $m_h = 114 \text{ GeV}$  contour. From [20].

宇宙以外で以外で良い所で一致している ( $\mu > 0$ )

- {  $\mu < 0$   $b \rightarrow s\gamma$
- $M \lesssim 0$  Higgsはきひい (Aで整は可)

co-annihilation STU

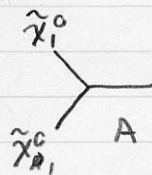
$\tilde{\chi}_1^0 \tilde{\tau}^\pm \rightarrow \tilde{\tau}^\mp \ell^\pm$  decayの効果で  $\Delta$  が大きくなる  
( $\tilde{\tau}^\pm \sim \tilde{\chi}_1^0$  の mass が近い)

Focus point  $m_0 \rightarrow \infty$  (1 TeV) となると  $\mu$  が小さくなる (3-10)

$\tilde{\chi}_1^0$  は Higgsino 成分  $\tilde{\chi}_1^0 = \begin{bmatrix} \tilde{w} \\ \tilde{w} \end{bmatrix}$   $w$  が大きいと  $\Delta$  が大きくなる

- $\tan\beta$  が大きい時

$$m_{\tilde{\chi}_1^0} = \frac{1}{2} m_A$$



が pole で 6 が大きくなる

BW (LEP-I-13)

18

J.L. Feng / Annals of Physics 315 (2005) 2–51

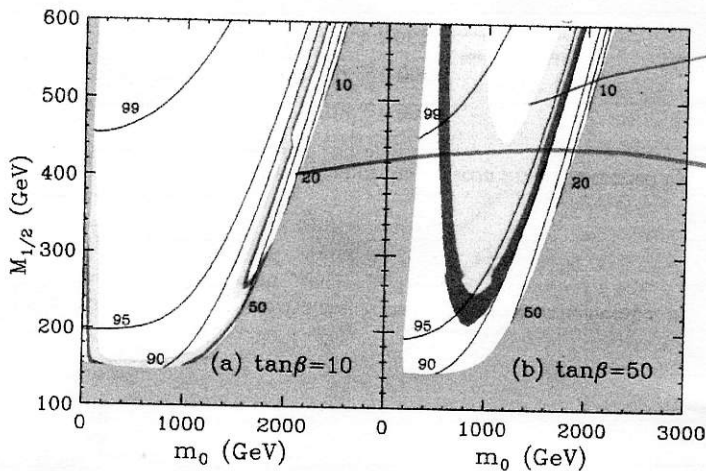


Fig. 10. Focus point region of minimal supergravity for  $A_0 = 0$ ,  $\mu > 0$ , and  $\tan\beta$  as indicated. The excluded regions and contours are as in Fig. 6. In the light yellow region, the thermal relic density satisfies the pre-WMAP constraint  $0.1 < \Omega_{DM} h^2 < 0.3$ . In the medium red region, the neutralino density is in the post-WMAP range  $0.094 < \Omega_{DM} h^2 < 0.129$ . The focus point region is the cosmologically favored region with  $m_0 \gtrsim 1$  TeV. Updated from [12]. (For interpretation of the references to color in this figure legend, the reader is referred to the web version of this paper.)

$\tan\beta = 50$

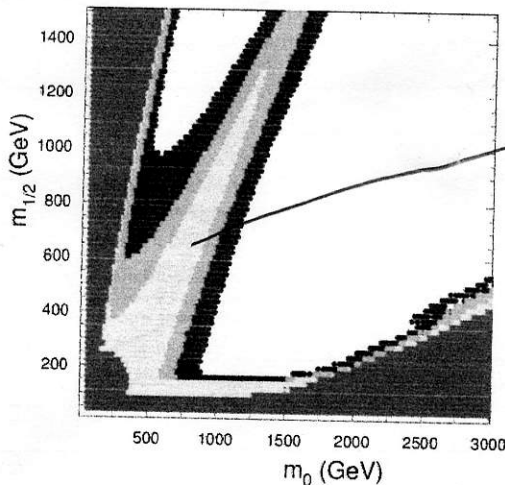
の時は A の M\_A

は 50 附近

$\tan\beta$  が 100 の時は

$\mu < m_{1/2}$  のあたり

B



$m_{\tilde{\chi}_1^0} = \frac{1}{2} m_A$

$= 103$   
GeV

Fig. 11. The  $A$  funnel region of minimal supergravity with  $A_0 = 0$ ,  $\tan\beta = 45$ , and  $\mu < 0$ . The red region is excluded. The other shaded regions have  $\Omega_{DM} h^2 < 0.1$  (yellow),  $0.1 < \Omega_{DM} h^2 < 0.3$  (green), and  $0.3 < \Omega_{DM} h^2 < 1$  (blue). From [25]. (For interpretation of the references to color in this figure legend, the reader is referred to the web version of this paper.)